

$$K_0 = 85.26 \text{ kN/cm}^2, K_1 = 401.1 \text{ kN/cm}^2, K_2 = 946050.0$$

4.2せん断試験のシミュレーション 4.1で求めたパラメーターを用いて側圧 $\sigma_3 = 2 \text{ kN/cm}^2$ でのせん断試験における応力～ひずみ関係の計算値と実験値を比較したのが図～2である。未処理土、安定処理土($R=6.3, 12.5\%$)、砂それぞれ各試料とも実測値と計算値がかなり良く一致している。

図～3は複合供試体(a)(b)の解析モデルについての主応力差 σ_d ～軸ひずみ ϵ_1 関係について、実験値と計算値を示したものである。 $R=6.3, 12.5\%$ といづれも実験値のほうが小さめの値を示しているが、軸ひずみ2%あたりまではほぼ良い一致を示している。同じ混合率の安定処理土のパイルを有する複合供試体であっても、上部ペデスタルと供試体との間に砂を置くことによって強度が増加することを示している。

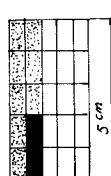
図～4は複合供試体(b)の要素内の応力経路を示したものである。均質な未処理土や安定処理土単体のせん断の場合、応力経路は直線で破壊線にタッチするが、複合供試体の場合はパイル部に応力が集中するためパイル部分は平均主応力の大きさの所で、未処理土部分は平均主応力の小さき所で破壊線にタッチする。

図～5は複合供試体(a)(b) (パイル $R=12.5\%$)を側圧 2 kN/cm^2 でせん断した時の降伏領域のひくがりを示したものである。複合供試体(b)ではパイル部分から降伏が進むことは、複合供試体(a)と同じであるがペデスタルの下に砂がある為、未処理土部分がパイルの降伏とともに均質的に進む。

5. むすび F.E.M. 解析結果は複合供試体のせん断挙動をまだ十分説明しうる段階ではないが、解析の手段としては期待できると思われる。

6. 参考文献

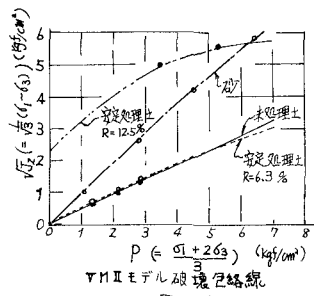
- 1) N. Radhakrishnan. TECHNICAL REPORT S-73-4. U.S. Army Engineer Waterway Experiment Station Soil and Pavements Laboratory. May 1973
- 2) I. Nelson. Contract Report S-68-1. Report 2, July 1970.



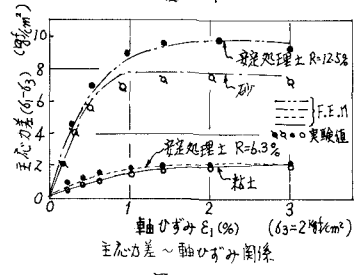
(a) 複合供試体 (a)

図～5 複合供試体の降伏領域のひくがり

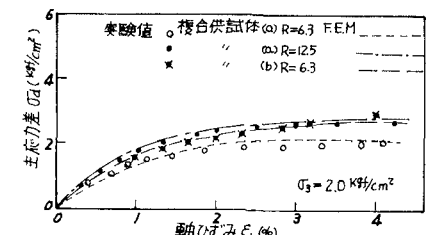
($R=12.5\%$) $\sigma_3 = 2 \text{ kN/cm}^2$



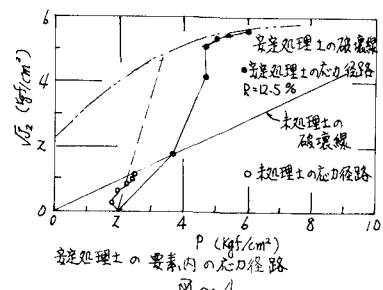
図～1
FEM II モデル破壊包絡線



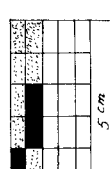
図～2
主応力差～軸ひずみ関係



図～3 複合供試体の応力～ひずみ曲線



図～4



(b) 複合供試体 (b)